



# PONTE SULLO STRETTO DI MESSINA



## PROGETTO DEFINITIVO

### EUROLINK S.C.p.A.

IMPREGILO S.p.A. (MANDATARIA)  
 SOCIETÀ ITALIANA PER CONDOTTE D'ACQUA S.p.A. (MANDANTE)  
 COOPERATIVA MURATORI E CEMENTISTI - C.M.C. DI RAVENNA SOC. COOP. A.R.L. (MANDANTE)  
 SACYR S.A.U. (MANDANTE)  
 ISHIKAWAJIMA - HARIMA HEAVY INDUSTRIES CO. LTD (MANDANTE)  
 A.C.I. S.C.P.A. - CONSORZIO STABILE (MANDANTE)

 <p>IL PROGETTISTA                  Dott. Ing. F. Colla                  Ordine Ingegneri                  Milano                  n° 20355                  Dott. Ing. E. Pagani                  Ordine Ingegneri Milano                  n° 15408</p> 	<p>IL CONTRAENTE GENERALE</p> <p>Project Manager                  (Ing. P.P. Marcheselli)</p>	<p>STRETTO DI MESSINA                  Direttore Generale e                  RUP Validazione                  (Ing. G. Fiammenghi)</p>	<p>STRETTO DI MESSINA                  Amministratore Delegato                  (Dott. P. Ciucci)</p>
---	---	--	---

<i>Unità Funzionale</i>	COLLEGAMENTI SICILIA	SS0704_F0
<i>Tipo di sistema</i>	INFRASTRUTTURE STRADALI - OPERE CIVILI	
<i>Raggruppamento di opere/attività</i>	SVINCOLO CURCURACI	
<i>Opera - tratto d'opera - parte d'opera</i>	VIADOTTO SU RAMPE 3 E 4	
<i>Titolo del documento</i>	RELAZIONE TECNICO - DESCRITTIVA DELL'OPERA	

CODICE	C	G	0	7	0	0	P	R	G	D	S	S	C	C	5	V	I	R	0	0	0	0	0	1	F0
--------	---	---	---	---	---	---	---	---	---	---	---	---	---	---	---	---	---	---	---	---	---	---	---	---	----

REV	DATA	DESCRIZIONE	REDATTO	VERIFICATO	APPROVATO
F0	20/06/2011	EMISSIONE FINALE	A. CONTARDI	G. SCIUTO	F. COLLA



		<b>Ponte sullo Stretto di Messina</b> <b>PROGETTO DEFINITIVO</b>		
<b>RELAZIONE TECNICO-DESCRITTIVA DELL'OPERA</b>		<i>Codice documento</i> SS0704_F0.doc	<i>Rev</i> F0	<i>Data</i> 20/06/2011

## INDICE

INDICE .....	3
PREMESSA.....	5
1 RIFERIMENTI NORMATIVI .....	5
2 RIFERIMENTI BIBLIOGRAFICI .....	6
3 CARATTERISTICHE MATERIALI.....	8
3.1 Calcestruzzi (Secondo UNI 11104 - 2004).....	8
3.2 Acciaio per armature (Secondo NTC 2008 – D.M. 14/01/2008) .....	13
3.3 Acciaio per la carpenteria metallica di impalcato.....	13
4 DESCRIZIONE DELLA STRUTTURA.....	14
4.1 CARATTERISTICHE GEOMETRICHE E UBICAZIONE DELLA STRUTTURA.....	14
4.2 CARATTERIZZAZIONE GEOTECNICA DEL LUOGO.....	17
4.2.1 Indagini previste .....	17
4.2.2 Caratterizzazione geotecnica.....	18
4.3 CARATTERIZZAZIONE DELLA SISMICITA' DEL LUOGO .....	22
4.4 CRITERI GENERALI DI PROGETTAZIONE .....	24
4.4.1 Verifiche di resistenza.....	24
4.4.1.1 Verifiche di resistenza agli stati limite ultimi.....	24
4.4.2 Verifiche agli stati limite di esercizio.....	25
4.4.2.1 Definizione degli stati limite di fessurazione .....	25
4.4.2.2 Condizioni ambientali .....	25
4.4.2.3 Sensibilità delle armature alla corrosione .....	26
4.4.2.4 Scelta degli stati limite di fessurazione.....	26
4.4.2.5 Verifiche allo stato limite di fessurazione.....	26
4.4.2.6 Verifiche delle tensioni in esercizio.....	27
4.4.3 Azioni sismiche.....	28
4.4.3.1 Vita nominale .....	28
4.4.3.2 Classe d'uso .....	28
4.4.3.3 Periodo di riferimento per l'azione sismica .....	29
4.4.3.4 Parametri di progetto.....	29
4.4.3.5 Classificazione sismica del terreno .....	31
4.4.3.6 Spettro di risposta elastico in accelerazione.....	31

		<b>Ponte sullo Stretto di Messina</b> <b>PROGETTO DEFINITIVO</b>		
RELAZIONE TECNICO-DESCRITTIVA DELL'OPERA	<i>Codice documento</i> SS0704_F0.doc	<i>Rev</i> F0	<i>Data</i> 20/06/2011	

4.4.3.7	Spettro di risposta elastico in accelerazione delle componenti orizzontali .....	32
4.4.3.8	Spettro di risposta elastico in accelerazione delle componenti verticali .....	34
4.4.3.9	Spettro di progetto .....	35
4.4.4	COMBINAZIONI DI CARICO .....	37
5	FASI COSTRUTTIVE.....	40
6	ELABORATI DI RIFERIMENTO.....	41

		<b>Ponte sullo Stretto di Messina</b> <b>PROGETTO DEFINITIVO</b>		
RELAZIONE TECNICO DESCRITTIVA DELL'OPERA		<i>Codice documento</i> SS0704_F0.doc	<i>Rev</i> F0	<i>Data</i> 20/06/2011

## PREMESSA

Il viadotto in oggetto è posto all'interno dello Svincolo denominato Curcuraci facente parte dei collegamenti lato Sicilia del ponte sullo stretto di Messina; tale opera d'arte è necessaria per lo scavalco della Fiumara Curcuraci da parte delle rampe n°3 e 4 dello svincolo stesso e per evitare la realizzazione di rilevati stradali di altezza troppo elevata nel tratto tra l'Autostrada e la rotonda di svincolo.

### 1 RIFERIMENTI NORMATIVI

I calcoli delle strutture sono stati eseguiti in base alle seguenti disposizioni:

- Legge 5/11/1971 n° 1086: "Norme per le discipline delle opere di conglomerato cementizio armato normale e precompresso ed a struttura metallica".
- Legge 2 febbraio 1974, n. 64 "Provvedimenti per le costruzioni con particolari prescrizioni per le zone sismiche".
- D.M. del 14/01/2008 - "Norme Tecniche per le Costruzioni 2008"
- Istruzioni per l'applicazione delle norme tecniche per le costruzioni di cui al DM 14/01/2008 – Circolare 2 febbraio 2009 n. 617.
- Norma UNI EN 206-1 : 2006 "Calcestruzzo. Parte 1 : specificazione, prestazione, produzione e conformità"
- Norma UNI EN 10025 – 2005 – "Prodotti laminati a caldo di acciai per impieghi strutturali.
- C.N.R. - U.N.I. 10016 - 00: "Travi composte di acciaio e calcestruzzo. Istruzioni per l'impiego nelle costruzioni".
- C.N.R. – DT 207/2008: "Istruzioni per la valutazione delle azioni e degli effetti del vento sulle costruzioni".
- C.N.R. 10018/99 – "Apparecchi d'appoggio per le costruzioni. Istruzioni per l'impiego"
- C.N.R. - U.N.I. 10011 - 97: "Costruzioni in acciaio. Istruzioni per il calcolo, l'esecuzione, il collaudo e la manutenzione".
- C.N.R. - U.N.I. 10016 - 00: "Travi composte di acciaio e calcestruzzo. Istruzioni per l'impiego nelle costruzioni".

		<b>Ponte sullo Stretto di Messina</b> <b>PROGETTO DEFINITIVO</b>		
RELAZIONE TECNICO DESCRITTIVA DELL'OPERA		<i>Codice documento</i> SS0704_F0.doc	<i>Rev</i> F0	<i>Data</i> 20/06/2011

## 2 RIFERIMENTI BIBLIOGRAFICI

- [1] SEAOC Blue Book “Conceptual Framework for Performance-Based Seismic Design”, Appendix B (2000).
- [2] Gruppo di Lavoro (2004). Redazione della mappa di pericolosità sismica prevista dall’Ordinanza PCM 3274 del 20 marzo 2003. Rapporto Conclusivo per il Dipartimento della Protezione Civile, INGV, Milano-Roma, aprile 2004, 65 pp. + 5 appendici).
- [3] Priestley M.J.N., Seible F. e Calvi G.M. “Seismic Design and Retrofit of Bridges”, J. Wiley & Sons, Inc. (1996).
- [4] Migliacci A. e Mola F., “Progetto agli stati limite delle strutture in c.a.”. Parte prima e seconda, Ed. Masson. 1996.
- [5] FEMA 440 – “Improvement of Nonlinear Static Seismic Analysis Procedures”, prepared by ATC, ATC-55 Project, Redwood City CA, June 2005.
- [6] FEMA 440 – “Improvement of Nonlinear Static Seismic Analysis Procedures”, prepared by ATC, ATC-55 Project, Redwood City CA, June 2005.
- [7] M. W. O’Neill and L. C. Reese “Drilled shafts: construction procedures and design methods”, prepared for U.S. Department of Transportation Federal Highway Administration; printed by ADSC: The International Association of Foundation Drilling, pub. n. ADSC-TL 4, August 1999.
- [8] CALTRANS “Seismic Design Criteria” Version 1.1; California department of transportation, USA, July 1999.
- [9] ATC-32 “Improved Seismic Design Criteria for California Bridges: Provisional Recommendations” Version 1.1; California, USA, June 1996.
- [10] ATC-49 “Recommended LRFD guidelines for the seismic design of highway bridges. Part I: Specifications. Part II: Commentary and Appendices”, ATC/MCEER Joint Venture, USA, June 2003.
- [11] Roesset J.M. [1969] “Fundamentals of soil amplification”, Conference on Seismic Design for Nuclear Power Plants, MIT, Ed. by Robert J. Hansen, Vol 1, pp. 183-244.
- [12] Mylonakis G. [2001] “Simplified model for seismic pile bending at soil layer interfaces”, The

		<b>Ponte sullo Stretto di Messina</b> <b>PROGETTO DEFINITIVO</b>		
RELAZIONE TECNICO DESCRITTIVA DELL'OPERA	<i>Codice documento</i> SS0704_F0.doc	<i>Rev</i> F0	<i>Data</i> 20/06/2011	

Japanese Geotechnical Society, Vol. 41, No. 4(20010815), pp. 47-58.

[13] Joseph E. Bowles. [1988] "Fondazioni – progetto e analisi", McGraw-Hill.

		<b>Ponte sullo Stretto di Messina</b> <b>PROGETTO DEFINITIVO</b>	
RELAZIONE TECNICO DESCRITTIVA DELL'OPERA	<i>Codice documento</i> SS0704_F0.doc	<i>Rev</i> F0	<i>Data</i> 20/06/2011

### 3 CARATTERISTICHE MATERIALI

#### 3.1 Calcestruzzi (Secondo UNI 11104 - 2004)

##### Per sottofondazioni

classe di resistenza

C12/15

classe di esposizione

XC0

##### Per pali gettati in opera

classe di resistenza

C25/30

modulo elastico

$E_c = 31.447 \text{ N/mm}^2$

resistenza caratteristica a compressione cilindrica

$f_{ck} = 24,90 \text{ N/mm}^2$

resistenza media a compressione cilindrica

$f_{cm} = 32,90 \text{ N/mm}^2$

resistenza di calcolo a compressione

$f_{cd} = 14,11 \text{ N/mm}^2$

resistenza a trazione ( valore medio )

$f_{ctm} = 2,56 \text{ N/mm}^2$

resistenza caratteristica a trazione

$f_{ctk} = 1,79 \text{ N/mm}^2$

resistenza caratteristica a trazione per flessione

$f_{ctk} = 2,15 \text{ N/mm}^2$

tensione a SLE – combinazione rara

$\sigma_c = 14,94 \text{ N/mm}^2$

tensione a SLE – combinazione quasi permanente

$\sigma_c = 11,20 \text{ N/mm}^2$

copriferro

$C = 60 \text{ mm}$

classe di esposizione

XC2

classe di consistenza slump

S4-S5

max dimensione aggregati

$D_{max} = 32 \text{ mm}$

rapporto A/C massimo

0,50

##### Fondazioni pile e spalle

classe di resistenza

C25/30

modulo elastico

$E_c = 31.447 \text{ N/mm}^2$

resistenza caratteristica a compressione cilindrica

$f_{ck} = 24,90 \text{ N/mm}^2$

resistenza media a compressione cilindrica

$f_{cm} = 32,90 \text{ N/mm}^2$

resistenza di calcolo a compressione

$f_{cd} = 14,11 \text{ N/mm}^2$

resistenza a trazione ( valore medio )

$f_{ctm} = 2,56 \text{ N/mm}^2$

resistenza caratteristica a trazione

$f_{ctk} = 1,79 \text{ N/mm}^2$



		<b>Ponte sullo Stretto di Messina</b> <b>PROGETTO DEFINITIVO</b>	
RELAZIONE TECNICO DESCRITTIVA DELL'OPERA	<i>Codice documento</i> SS0704_F0.doc	<i>Rev</i> F0	<i>Data</i> 20/06/2011

resistenza caratteristica a trazione per flessione	$f_{ctk} =$	2,15	N/mm <sup>2</sup>
tensione a SLE – combinazione rara	$\sigma_C =$	14,94	N/mm <sup>2</sup>
tensione a SLE – combinazione quasi permanente	$\sigma_C =$	11,20	N/mm <sup>2</sup>
copriferro	$C =$	40	mm
classe di esposizione		XC2	
classe di consistenza slump		S4	
max dimensione aggregati	$D_{max} =$	32	mm
rapporto A/C massimo		0,50	

### **Baggioli e ritegni sismici**

classe di resistenza		<b>C32/40</b>	
modulo elastico	$E_c \square =$	36.050	N/mm <sup>2</sup>
resistenza caratteristica a compressione cilindrica	$f_{ck} =$	33,20	N/mm <sup>2</sup>
resistenza media a compressione cilindrica	$f_{cm} =$	39,84	N/mm <sup>2</sup>
resistenza di calcolo a compressione	$f_{cd} =$	18,81	N/mm <sup>2</sup>
resistenza a trazione ( valore medio )	$f_{ctm} =$	3,16	N/mm <sup>2</sup>
resistenza caratteristica a trazione	$f_{ctk} =$	2,21	N/mm <sup>2</sup>
resistenza caratteristica a trazione per flessione	$f_{ctk} =$	2,65	N/mm <sup>2</sup>
tensione a SLE – combinazione rara	$\sigma_C =$	19,92	N/mm <sup>2</sup>
tensione a SLE – combinazione quasi permanente	$\sigma_C =$	14,94	N/mm <sup>2</sup>
copriferro	$C =$	35	mm
classe di esposizione		XS1	XF2
classe di consistenza slump		S4	
max dimensione aggregati	$D_{max} =$	20	mm
rapporto A/C massimo		0,50	

### **Soletta di impalcato**

classe di resistenza		<b>C32/40</b>	
modulo elastico	$E_c \square =$	31.447	N/mm <sup>2</sup>
resistenza caratteristica a compressione cilindrica	$f_{ck} =$	33,20	N/mm <sup>2</sup>
resistenza media a compressione cilindrica	$f_{cm} =$	39,84	N/mm <sup>2</sup>
resistenza di calcolo a compressione	$f_{cd} =$	18,81	N/mm <sup>2</sup>
resistenza a trazione ( valore medio )	$f_{ctm} =$	2,56	N/mm <sup>2</sup>

		<b>Ponte sullo Stretto di Messina</b> <b>PROGETTO DEFINITIVO</b>	
RELAZIONE TECNICO DESCRITTIVA DELL'OPERA	<i>Codice documento</i> SS0704_F0.doc	<i>Rev</i> F0	<i>Data</i> 20/06/2011

resistenza caratteristica a trazione	$f_{ctk} =$	1,79	N/mm <sup>2</sup>
resistenza caratteristica a trazione per flessione	$f_{cfk} =$	2,15	N/mm <sup>2</sup>
tensione a SLE – combinazione rara	$\sigma_C =$	14,94	N/mm <sup>2</sup>
tensione a SLE – combinazione quasi permanente	$\sigma_C =$	14,94	N/mm <sup>2</sup>
copriferro estradosso	$C =$	35	mm
classe di esposizione		XF4	XS1
classe di consistenza slump		S4	
max dimensione aggregati	$D_{max} =$	20	mm
rapporto A/C massimo		0,45	

### **Cordoli di impalcato**

classe di resistenza		C32/40	
modulo elastico	$E_{c\Box} =$	31.447	N/mm <sup>2</sup>
resistenza caratteristica a compressione cilindrica	$f_{ck} =$	33,20	N/mm <sup>2</sup>
resistenza media a compressione cilindrica	$f_{cm} =$	39,84	N/mm <sup>2</sup>
resistenza di calcolo a compressione	$f_{cd} =$	18,81	N/mm <sup>2</sup>
resistenza a trazione ( valore medio )	$f_{ctm} =$	2,56	N/mm <sup>2</sup>
resistenza caratteristica a trazione	$f_{ctk} =$	1,79	N/mm <sup>2</sup>
resistenza caratteristica a trazione per flessione	$f_{cfk} =$	2,15	N/mm <sup>2</sup>
tensione a SLE – combinazione rara	$\sigma_C =$	14,94	N/mm <sup>2</sup>
tensione a SLE – combinazione quasi permanente	$\sigma_C =$	14,94	N/mm <sup>2</sup>
copriferro	$C =$	35	mm
classe di esposizione		XS1	XF4
classe di consistenza slump		S4	
max dimensione aggregati	$D_{max} =$	20	mm
rapporto A/C massimo		0,45	

### **Elevazioni pila, spalle, muri, paraghiaia**

classe di resistenza		C32/40	
modulo elastico	$E_{c\Box} =$	36.050	N/mm <sup>2</sup>
resistenza caratteristica a compressione cilindrica	$f_{ck} =$	33,20	N/mm <sup>2</sup>
resistenza media a compressione cilindrica	$f_{cm} =$	39,84	N/mm <sup>2</sup>

		<b>Ponte sullo Stretto di Messina</b> <b>PROGETTO DEFINITIVO</b>		
RELAZIONE TECNICO DESCRITTIVA DELL'OPERA	<i>Codice documento</i> SS0704_F0.doc	<i>Rev</i> F0	<i>Data</i> 20/06/2011	

resistenza di calcolo a compressione	$f_{cd} =$	18,81	N/mm <sup>2</sup>
resistenza a trazione ( valore medio )	$f_{ctm} =$	3,16	N/mm <sup>2</sup>
resistenza caratteristica a trazione	$f_{ctk} =$	2,21	N/mm <sup>2</sup>
resistenza caratteristica a trazione per flessione	$f_{cfk} =$	2,65	N/mm <sup>2</sup>
tensione a SLE – combinazione rara	$\sigma_C =$	19,92	N/mm <sup>2</sup>
tensione a SLE – combinazione quasi permanente	$\sigma_C =$	14,94	N/mm <sup>2</sup>
copriferro	$C =$	40	mm
classe di esposizione	XC4	XS1	XF2
classe di consistenza slump		S4	
max dimensione aggregati	$D_{max} =$	32	mm
rapporto A/C massimo		0,50	

### **Cordoli testa opere provvisionali**

classe di resistenza		<b>C32/40</b>	
modulo elastico	$E_c =$	36.050	N/mm <sup>2</sup>
resistenza caratteristica a compressione cilindrica	$f_{ck} =$	33,20	N/mm <sup>2</sup>
resistenza media a compressione cilindrica	$f_{cm} =$	39,84	N/mm <sup>2</sup>
resistenza di calcolo a compressione	$f_{cd} =$	18,81	N/mm <sup>2</sup>
resistenza a trazione ( valore medio )	$f_{ctm} =$	3,16	N/mm <sup>2</sup>
resistenza caratteristica a trazione	$f_{ctk} =$	2,21	N/mm <sup>2</sup>
resistenza caratteristica a trazione per flessione	$f_{cfk} =$	2,65	N/mm <sup>2</sup>
tensione a SLE – combinazione rara	$\sigma_C =$	19,92	N/mm <sup>2</sup>
tensione a SLE – combinazione quasi permanente	$\sigma_C =$	14,94	N/mm <sup>2</sup>
copriferro	$C =$	40	mm
classe di esposizione		XC2	
classe di consistenza slump		S4	
max dimensione aggregati	$D_{max} =$	32	mm
rapporto A/C massimo		0,50	

### **Lastre tralicciate impalcato**

classe di resistenza		<b>C35/45</b>	
modulo elastico	$E_c =$	32.036	N/mm <sup>2</sup>
resistenza caratteristica a compressione cilindrica	$f_{ck} =$	37,35	N/mm <sup>2</sup>

		<b>Ponte sullo Stretto di Messina</b> <b>PROGETTO DEFINITIVO</b>	
RELAZIONE TECNICO DESCRITTIVA DELL'OPERA	<i>Codice documento</i> SS0704_F0.doc	<i>Rev</i> F0	<i>Data</i> 20/06/2011

resistenza media a compressione cilindrica	$f_{cm} =$	45,35	N/mm <sup>2</sup>
resistenza di calcolo a compressione	$f_{cd} =$	21,16	N/mm <sup>2</sup>
resistenza a trazione ( valore medio )	$f_{ctm} =$	3,21	N/mm <sup>2</sup>
resistenza caratteristica a trazione	$f_{ctk} =$	2,24	N/mm <sup>2</sup>
resistenza caratteristica a trazione per flessione	$f_{cfk} =$	2,41	N/mm <sup>2</sup>
tensione a SLE – combinazione rara	$\sigma_C =$	21,00	N/mm <sup>2</sup>
tensione a SLE – combinazione quasi permanente	$\sigma_C =$	15,75	N/mm <sup>2</sup>
copriferro	$C =$	20	mm
classe di esposizione		XS1	XF2
classe di consistenza slump		S4	
max dimensione aggregati	$D_{max} =$	20	mm
rapporto A/C massimo		0,50	

		<b>Ponte sullo Stretto di Messina</b> <b>PROGETTO DEFINITIVO</b>		
RELAZIONE TECNICO DESCRITTIVA DELL'OPERA		<i>Codice documento</i> SS0704_F0.doc	<i>Rev</i> F0	<i>Data</i> 20/06/2011

Per il calcestruzzo ordinario armato si assume il seguente peso per unità di volume:

$$\rho'_{cls} = \boxed{25} \text{ kN/m}^3$$

### 3.2 Acciaio per armature (Secondo NTC 2008 – D.M. 14/01/2008)

	<b>B450C</b>	
tensione caratteristica di snervamento	$f_{yk} =$	450 N/mm <sup>2</sup>
tensione caratteristica di rottura	$f_{tk} =$	540 N/mm <sup>2</sup>
resistenza di calcolo a trazione	$f_{yd} =$	391,30 N/mm <sup>2</sup>
modulo elastico	$E_s =$	206.000 N/mm <sup>2</sup>
deformazione caratteristica al carico massimo	$\epsilon_{uk} =$	7,50 %
deformazione di progetto	$\epsilon_{ud} =$	6,75 %
coeff. resistenza a instabilità delle membrature	$\gamma_m =$	1,10

### 3.3 Acciaio per la carpenteria metallica di impalcato

spessori fino a 40 mm	<b>S355J2G3</b>	(ex 510 D)
spessori maggiori di 40 mm	<b>S355K2G3</b>	(ex 510 DD)
tensione caratteristica di snervamento < 40 mm	$f_{yk} =$	355 N/mm <sup>2</sup>
tensione caratteristica di rottura < 40 mm	$f_{tk} =$	510 N/mm <sup>2</sup>
tensione caratteristica di snervamento > 40 mm	$f_{yk} =$	335 N/mm <sup>2</sup>
tensione caratteristica di rottura > 40 mm	$f_{tk} =$	470 N/mm <sup>2</sup>
resistenza di calcolo a trazione < 40 mm	$f_{yd} =$	338 N/mm <sup>2</sup>
resistenza di calcolo a trazione > 40 mm	$f_{yd} =$	319 N/mm <sup>2</sup>
modulo elastico	$E_s =$	206.000 N/mm <sup>2</sup>
coeff. resistenza a instabilità delle membrature	$\gamma_m =$	1,10

		<b>Ponte sullo Stretto di Messina</b> <b>PROGETTO DEFINITIVO</b>		
RELAZIONE TECNICO DESCRITTIVA DELL'OPERA		<i>Codice documento</i> SS0704_F0.doc	<i>Rev</i> F0	<i>Data</i> 20/06/2011

## 4 DESCRIZIONE DELLA STRUTTURA

### 4.1 CARATTERISTICHE GEOMETRICHE E UBICAZIONE DELLA STRUTTURA

Il viadotto in oggetto è posto all'interno dello Svincolo denominato Curcuraci facente parte dei collegamenti lato Sicilia del ponte sullo stretto di Messina; tale opera d'arte è necessaria per lo scavalco della Fiumara Curcuraci da parte delle rampe n°3 e 4 dello svincolo stesso e per evitare la realizzazione di rilevati stradali di altezza troppo elevata nel tratto tra l'Autostrada e la rotonda di svincolo.

Il viadotto è costituito da un impalcato a via superiore in struttura mista acciaio-calcestruzzo di 5 campate continue, di cui 4 formate da 4 travi e l'ultima che si sdoppia in 2 impalcati formati da 2 travi cadauno; l'impalcato poggia su spalle classiche e su pile in calcestruzzo armato basate su fondazioni di tipo diretto.

Le campate sono organizzate in luci con sviluppo in asse di circa 27,00 + 30,00 +30,00 + 21,00 + 26,00 mt in asse appoggi per una lunghezza totale di circa 135,00 mt in asse rampa 4 e 133,00 mt in asse rampa 3; il tracciato in corrispondenza dell'opera presenta una curva planimetrica di raccordo a raggio variabile e una pendenza trasversale variabile fino ad un massimo del 7,00%. La larghezza trasversale totale dell'impalcato è variabile: nel tratto in cui le due rampe sono unite passa da un minimo di 11,76 mt ad un massimo di 18,70 mt comprendenti due cordoli da 80 cm cadauno che ospitano le barriere di sicurezza, mentre nel tratto in cui le due rampe sono divise la larghezza totale è di 9,10 mt e 8,10 mt rispettivamente per le rampe 3 e 4 con i medesimi cordoli.

#### **IMPALCATO IN ACCIAIO**

Dal punto di vista statico e costruttivo l'impalcato è costituito da 4 travate continue su 6 appoggi, con luci pari a circa 27,00 + 30,00 +30,00 + 21,00 + 26,00 mt in asse appoggi; la struttura metallica è segmentata in 16 diverse tipologie di conci e la sezione trasversale è irrigidita trasversalmente, nel piano verticale da diaframmi composti da profili ad L commerciali posti ad interasse inferiore ai 5,00 mt e nel piano orizzontale dalla soletta in calcestruzzo.

La scelta delle luci risponde a esigenze di carattere statico e di adattabilità della struttura:

- La distribuzione delle campate permette lo scavalco della fiumara ed una suddivisione ottimale delle distanze rimanenti tra essa ed inizio e fine viadotto;
- Il rapporto tra le campate è tale da garantire un certo equilibrio tra i momenti in mezziera della campata e sugli appoggi e quindi un buon sfruttamento dei materiali per l'assorbimento

		<b>Ponte sullo Stretto di Messina</b> <b>PROGETTO DEFINITIVO</b>		
RELAZIONE TECNICO DESCRITTIVA DELL'OPERA		<i>Codice documento</i> SS0704_F0.doc	<i>Rev</i> F0	<i>Data</i> 20/06/2011

degli sforzi;

- Lo schema statico di trave continua permette un'altezza dell'impalcato contenuta e quindi un miglior inserimento dell'opera nel contesto plano-altimetrico.

L'impalcato è realizzato con una sezione mista acciaio-calcestruzzo, ed è costituito da travi metalliche di altezza costante di 1,60 mt

All'estradosso delle travi è solidarizzata la soletta in calcestruzzo per mezzo dei connettori a taglio opportunamente saldati sull'ala superiore della trave. La soletta, dello spessore complessivo di 30 cm, è costituita da predelle tralicciate di 6 cm e da un getto integrativo di 24 cm. Il collegamento tra l'impalcato metallico e la soletta in calcestruzzo è assicurato attraverso i connettori a piolo di tipo Nelson.

### **SOTTOSTRUTTURE E FONDAZIONI**

Le spalle e le pile sono dotate di fondazioni del tipo dirette a platea di forma in pianta rettangolare; l'intradosso delle solette di base si trova a circa 3,00 m al di sotto del piano campagna o a profondità di poco maggiori.

La spalla A è costituita da una ciabatta di fondazione a base a parallelogramma di dimensioni 21,00 x 21,00 m, di spessore 3,00 m e da un muro frontale di spessore pari a 3,00 m. Sul muro frontale corre un muro paraghiaia caratterizzato da spessore 1,00 m ed altezza variabile fino ad un massimo di 2,56 m.

Ai lati della spalla sono presenti due muri andatori paralleli all'asse stradale di lunghezza pari a circa 15,35 m, con spessore variabile da 2,20 m alla base a 0,80 m in sommità e altezza media pari a circa 14,50 m, che poggiano sulla medesima fondazione del muro frontale.

La spalla B-3 è costituita da una ciabatta di fondazione a base a parallelogramma di dimensioni 12,00 x 12,00 m, di spessore 2,50 m e da un muro frontale di spessore pari a 2,80 m. Sul muro frontale corre un muro paraghiaia caratterizzato da spessore 0,80 m ed altezza variabile da 2,22 m a 2,75 mt.

Ai lati della spalla sono presenti due muri andatori paralleli all'asse stradale di lunghezza pari a 6,55 m, spessore variabile da 1,80 m a 0,80 mt e altezza pari a 10,60 m, che poggiano sulla medesima fondazione del muro frontale.

La spalla B-4 è costituita da una ciabatta di fondazione a base a parallelogramma di dimensioni 16,50 x 16,50 m, di spessore 2,50 m e da un muro frontale di spessore pari a 2,80 m. Sul muro frontale corre un muro paraghiaia caratterizzato da spessore 0,80 m ed altezza variabile da 2,32 m

		<b>Ponte sullo Stretto di Messina</b> <b>PROGETTO DEFINITIVO</b>		
<b>RELAZIONE TECNICO DESCRITTIVA DELL'OPERA</b>		<i>Codice documento</i> SS0704_F0.doc	<i>Rev</i> F0	<i>Data</i> 20/06/2011

a 2,45 mt.

Ai lati della spalla sono presenti due muri andatori paralleli all'asse stradale di lunghezza pari a 11,05 m, spessore variabile da 2,20 m a 0,80 mt e altezza pari a 15,50 m, che poggiano sulla medesima fondazione del muro frontale.

La pila 1 è costituita da un plinto di fondazione a pianta rettangolare di dimensioni 12,00 x 7,50 m, di spessore 2,50 m. L'architettura della pila è definita da un fusto poligonale cavo alto 8,50 m. In sommità del fusto è individuabile un pulvino caratterizzato da uno sviluppo verticale di 4,20 m. Il collegamento tra impalcato ed opera di sostegno è affidato integralmente a quattro appoggi, collocati con un interasse reciproco di 2,90 m.

La pila 2 è costituita da un plinto di fondazione a pianta rettangolare di dimensioni 16,50 x 7,50 m, di spessore 2,50 m. L'architettura della pila è definita da un fusto poligonali cavo alto 12,20 m. In sommità del fusto è individuabile un pulvino caratterizzato da uno sviluppo verticale di 4,20 m. Il collegamento tra impalcato ed opera di sostegno è affidato integralmente a quattro appoggi, collocati con un interasse reciproco di 3,28 m.

La pila 3 è costituita da un plinto di fondazione a pianta rettangolare di dimensioni 16,50 x 7,50 m, di spessore 2,50 m. L'architettura della pila è definita da due fusti poligonali cavi di altezza 18,00 e 18,55 m. In sommità del fusto è individuabile un pulvino caratterizzato da uno sviluppo verticale di 4,20 m. Il collegamento tra impalcato ed opera di sostegno è affidato integralmente a 4 appoggi, 2 per ogni fusto, collocati con un interasse reciproco di 3,90 m e 4,26 m.

La pila 4 è costituita da un plinto di fondazione a pianta rettangolare di dimensioni 17,62 x 7,50 m, di spessore 2,50 m. L'architettura della pila è definita da 2 fusti poligonali cavi di altezze 12,70 e 14,22 m. In sommità del fusto è individuabile un pulvino caratterizzato da uno sviluppo verticale di 4,20 m. Il collegamento tra impalcato ed opera di sostegno è affidato integralmente a due appoggi per fusto, collocati con un interasse reciproco di 4,90 m.



		<b>Ponte sullo Stretto di Messina</b> <b>PROGETTO DEFINITIVO</b>		
RELAZIONE TECNICO DESCRITTIVA DELL'OPERA		<i>Codice documento</i> SS0704_F0.doc	<i>Rev</i> F0	<i>Data</i> 20/06/2011

## 4.2 CARATTERIZZAZIONE GEOTECNICA DEL LUOGO

Le litologie presenti sono Sabbie e Ghiaie di Messina e Depositi alluvionali.

La litologia prevalente è costituita dalla formazione delle Sabbie e Ghiaie di Messina.

I materiali in oggetto sono granulometricamente descritti come ghiaie e ciottoli da sub arrotondati ad appiattiti con matrice di sabbie grossolane.

Si rilevano strati di ghiaie cementate, come si evidenzia nei rilievi effettuati nelle aree di imbocco della galleria stradale Faro Superiore e Balena; in questi rilievi la ghiaia si presenta più o meno debolmente cementata e molto addensata. Lo scheletro si presenta costituito da ghiaie e ciottoli eterometrici arrotondati ed appiattiti.

I Depositi Alluvionali sono costituiti da ghiaie poligeniche ed eterometriche, giallastre o brune a clasti prevalentemente arrotondati di diametro da 2 a 30 cm, clasti sostenuti o a supporto di matrice argilloso-sabbiosa, alternate a rari sottili livelli di sabbie argillose rossastre; sabbie ciottolose a supporto di matrice argilloso-terrosa. L'età dei depositi alluvionali terrazzati è Pleistocene medio-superiore.

I depositi alluvionali recenti sono costituiti da limi e sabbie con livelli di ghiaie a supporto di matrice terroso-argillosa, talora terrazzati, localizzati in aree più elevate rispetto agli alvei fluviali attuali. La componente ruditica è rappresentata da ciottoli poligenici, prevalentemente cristallini, da spigolosi a subarrotondati di diametro tra 1 e 10 cm, mediamente di 4-5 cm. L'età dei depositi alluvionali recenti è l'Olocene.

La falda non risulta interferente con le opere.

### 4.2.1 Indagini previste

Data l'esiguità delle prove localmente presenti, si è scelto di tenere conto anche dei sondaggi della tratta che va dal Km 5+400 al Km 5+900 circa.

I sondaggi di riferimento per la presente tratta sono SPPS02 e SPPS03 (campagna del 2002), S415, S416, S417 e S418 (campagna del 2010).

Non ci sono localmente indagini per caratterizzare la categoria sismica di suolo; considerando la sismica a rifrazione SRD3, essa risulta pari a **C**.

Le prove localmente utilizzate nella caratterizzazione sono:

		<b>Ponte sullo Stretto di Messina</b> <b>PROGETTO DEFINITIVO</b>		
RELAZIONE TECNICO DESCRITTIVA DELL'OPERA		<i>Codice documento</i> SS0704_F0.doc	<i>Rev</i> F0	<i>Data</i> 20/06/2011

- Prove di laboratorio per la determinazione delle caratteristiche fisiche (sondaggio S417)
- Prove granulometriche (sondaggi S417, SPPS02 e SPPS03)
- Prove SPT (sondaggi S415, S416, S417, S418, SPPS02, SPPS03)
- 1 prova Cross Hole (sondaggio S418)
- 1 prova sismica a rifrazione locale (SRD3)
- 5 prove pressiometriche (sondaggi S417, S418)
- 4 prove Le Franc (sondaggi S417 e S418)

#### 4.2.2 Caratterizzazione geotecnica

Per i criteri e per gli aspetti generali di caratterizzazione si rimanda a quanto riportato nella relazione Elab. CG0800PRBDSSBC8G00000001B. Per la definizione delle categorie di suolo si rimanda al medesimo elaborato ed alla relazione sismica di riferimento.

Stratigrafia media	prof. (m)	$\gamma$ (kN/m <sup>3</sup> )	$\phi'$ (°)	$c'$ (Kpa)	$E'^*$ (MPa)	K (m/s)
Depositi alluvionali recenti	0 – 6	17-20	38-40	0	30 ÷ 70 / 40 ÷ 100 (0-10m)	10 <sup>-4</sup>
Sabbie e Ghiaie di Messina	>6	18-19	38-40	0	$E' = (15-36) z^{0.62}$	10 <sup>-4</sup> -10 <sup>-6</sup>
<b>Falda</b>	ASSENTE					

\*  $E'$  = modulo di Young “operativo”; \* = si considerano valori nel range per fronti di scavo sostenuti, opere di sostegno tirantate o puntonate; valori al minimo del range per fondazioni dirette, fondazioni su pali e rilevati.

#### Sabbie e Ghiaie di Messina

Con riferimento al fuso medio (19 prove granulometriche) si ha che:  $d_{50}=0.8\text{mm}$ ,  $d_{60}=2\text{mm}$  e  $d_{10}=0.015\text{mm}$ . Le percentuali medie di ghiaia, sabbia e limo sono rispettivamente di 38%, 47%, 12%.

		<b>Ponte sullo Stretto di Messina</b> <b>PROGETTO DEFINITIVO</b>		
RELAZIONE TECNICO DESCRITTIVA DELL'OPERA		<i>Codice documento</i> SS0704_F0.doc	<i>Rev</i> F0	<i>Data</i> 20/06/2011

- **Dr:** I valori di  $N_{spt}$  sono stati corretti con il fattore correttivo  $C_{sg}=0.75$  corrispondente al  $d50=0.8mm$ ;
- **$e_o$ :** a partire dal  $d50$  stimato si ottiene di  $e_{max}-e_{min}$  pari a 0.305, non dissimile dai valori reperibili in letteratura ( $0.17 < e_{max}-e_{min} < 0.29$ ). Stimando per  $e_{max}$  un valore pari a 0.8 a partire dai valori di  $Dr$  è stato possibile determinare i valori di  $e_o$  in sito;
- $\gamma_d$  : in base a tali valori di  $e_o$  e da  $\gamma_s$  si può stimare  $\gamma_d = 18-19KN/m^3$ ;
- **$K_0$ :** si considera la relazione di Mesri (1989) per tenere conto degli effetti di "aging".

I primi 15 m sembrerebbero maggiormente addensati soprattutto nella porzione sabbio-ghiaiosa.

Per i parametri di resistenza si ha:

z(m)	Dr(%) Sabbie e ghiaie	$\phi'_p$ (pff=0.272KPa) (°)	$\phi'_{cv}$ (°)	$K_0$
<b>5-15</b>	<b>40-80</b>	<b>39-42</b>	<b>33-35</b>	<b>0.4-0.45</b>
<b>&gt;15</b>	<b>50-60</b>	<b>39-40</b>	<b>33-35</b>	<b>0.45</b>

Come parametri operativi per l'angolo d'attrito si utilizzerà  $\phi' = 38-40$ .

Per i parametri di deformabilità si ha localmente a disposizione la prova sismica S418 in cui si evidenzia una buona correlazione fra le velocità misurate e quelle calcolate con le correlazioni da prove SPT.

L'espressione ottenuta in base alle correlazioni dalle prove SPT della tratta per il modulo  $G_0$  :

$$G_0 = 45 z^{0.62}$$

$$E_0 = 108 z^{0.62}$$

$$E' = (15-36) z^{0.62}$$

Le prove pressiometriche (nei sondaggi S417 e S418), che forniscono valori del ramo di carico, mostrano i valori più elevati (300-600MPa) tra 10m e 25m.

		<b>Ponte sullo Stretto di Messina</b> <b>PROGETTO DEFINITIVO</b>		
RELAZIONE TECNICO DESCRITTIVA DELL'OPERA		<i>Codice documento</i> SS0704_F0.doc	<i>Rev</i> F0	<i>Data</i> 20/06/2011

## Depositi alluvionali

Per i parametri fisici l'andamento del fuso evidenzia che le caratteristiche granulometriche dei materiali in esame sono tipiche di materiali sia di materiali a grana grossa (ghiaie 39%), sia di materiali intermedi (sabbie 45%). Il contenuto di fino è mediamente del 14%

Con riferimento al fuso medio:

- Il valore di  $D_{50}$  è pari a 0.8mm
- Il valore di  $D_{60}$  è pari a 2 mm
- Il valore di  $D_{10}$  è pari a 0.01 mm

Il peso di volume dei grani medio  $\gamma_s$  è risultato pari a circa 26.5 kN/m<sup>3</sup>.

Non si hanno a disposizione i valori di  $\gamma_{dmax}$  e  $\gamma_{dmin}$ .

Per quanto concerne stato iniziale e parametri di resistenza si ha:

- **Dr:** I valori di  $N_{spt}$  sono stati corretti con il fattore correttivo  $C_{sg}=0.75$  corrispondente al  $d_{50}=0.8mm$ ,
- **$e_o$ :** a partire dal  $d_{50}$  stimato si ottiene di  $e_{max}-e_{min}$  pari a 0.305 stimando per  $e_{max}$  un valore pari a 0.7 a partire dai valori di  $Dr$  è stato possibile determinare i valori di  $e_o$  in sito.
- **$\gamma_d$ :** si ottiene un pari a 17-20 KN/m<sup>3</sup>.
- **$K_0$ :** si considera la relazione di Jaky.

z(m)	Dr(%) Sabbie e ghiaie	$\phi'_p$ (pff=0.272KPa) (°)	$\phi'_{cv}$ (°)	$K_0$
<b>0-10</b>	<b>50-80</b>	<b>40-42</b>	<b>33-35</b>	<b>0.4-0.35</b>

Come parametri operativi per l'angolo d'attrito si utilizzerà  $\phi' = 38-40$ .

Per i parametri di deformabilità si ha localmente a disposizione la prova sismica S418.

L' espressione ottenuta in base alle correlazioni dalle prove SPT ed alla sismica della tratta per il

		<b>Ponte sullo Stretto di Messina</b> <b>PROGETTO DEFINITIVO</b>		
RELAZIONE TECNICO DESCRITTIVA DELL'OPERA		<i>Codice documento</i> SS0704_F0.doc	<i>Rev</i> F0	<i>Data</i> 20/06/2011

modulo  $G_0$ :

$G_0 = 80 \div 150$  MPa (0-10m)

$E_0 = 200 \div 300$  MPa

$E = 30 \div 70 / 40 \div 100$  MPa (0-10m)

quest' ultimo range è relativo rispettivamente ad  $1/10 \div 1/5 E_0$  ed ad  $1/3 E_0$  corrispondenti rispettivamente a medie- grandi deformazioni ed a piccole deformazioni.

		<b>Ponte sullo Stretto di Messina</b> <b>PROGETTO DEFINITIVO</b>		
RELAZIONE TECNICO DESCRITTIVA DELL'OPERA		<i>Codice documento</i> SS0704_F0.doc	<i>Rev</i> F0	<i>Data</i> 20/06/2011

### 4.3 CARATTERIZZAZIONE DELLA SISMICITA' DEL LUOGO

Le azioni di progetto si ricavano, ai sensi delle NTC, dalle accelerazioni  $a_g$  e dalle relative forme spettrali.

Le forme spettrali previste dalle NTC sono definite, su sito di riferimento rigido orizzontale, in funzione dei tre parametri:

- $a_g$  accelerazione orizzontale massima del terreno;
- $F_0$  valore massimo del fattore di amplificazione dello spettro in accelerazione orizzontale;
- $T_C^*$  periodo di inizio del tratto a velocità costante dello spettro in accelerazione orizzontale.

Per ciascun nodo del reticolo di riferimento e per ciascuno dei periodi di ritorno  $T_R$  considerati dalla pericolosità sismica, i tre parametri si ricavano riferendosi ai valori corrispondenti al 50esimo percentile ed attribuendo ad:

$a_g$  il valore previsto dalla pericolosità sismica;

$F_0$  e  $T_C^*$  i valori ottenuti imponendo che le forme spettrali in accelerazione, velocità e spostamento previste dalle NTC scartino al minimo dalle corrispondenti forme spettrali previste dalla pericolosità sismica.

Le forme spettrali previste dalle NTC sono caratterizzate da prescelte probabilità di superamento e vite di riferimento. A tal fine occorre fissare:

- la vita di riferimento  $V_R$  della costruzione;
- le probabilità di superamento nella vita di riferimento  $PVR$  associate agli stati limite considerati, per individuare infine, a partire dai dati di pericolosità sismica disponibili, le corrispondenti azioni sismiche.

A tal fine è conveniente utilizzare, come parametro caratterizzante la pericolosità sismica, il periodo di ritorno dell'azione sismica  $T_R$ , espresso in anni. Fissata la vita di riferimento  $V_R$ , i due parametri  $T_R$  e  $PVR$  sono immediatamente esprimibili, l'uno in funzione dell'altro, mediante

		<b>Ponte sullo Stretto di Messina</b> <b>PROGETTO DEFINITIVO</b>	
RELAZIONE TECNICO DESCRITTIVA DELL'OPERA	<i>Codice documento</i> SS0704_F0.doc	<i>Rev</i> F0	<i>Data</i> 20/06/2011

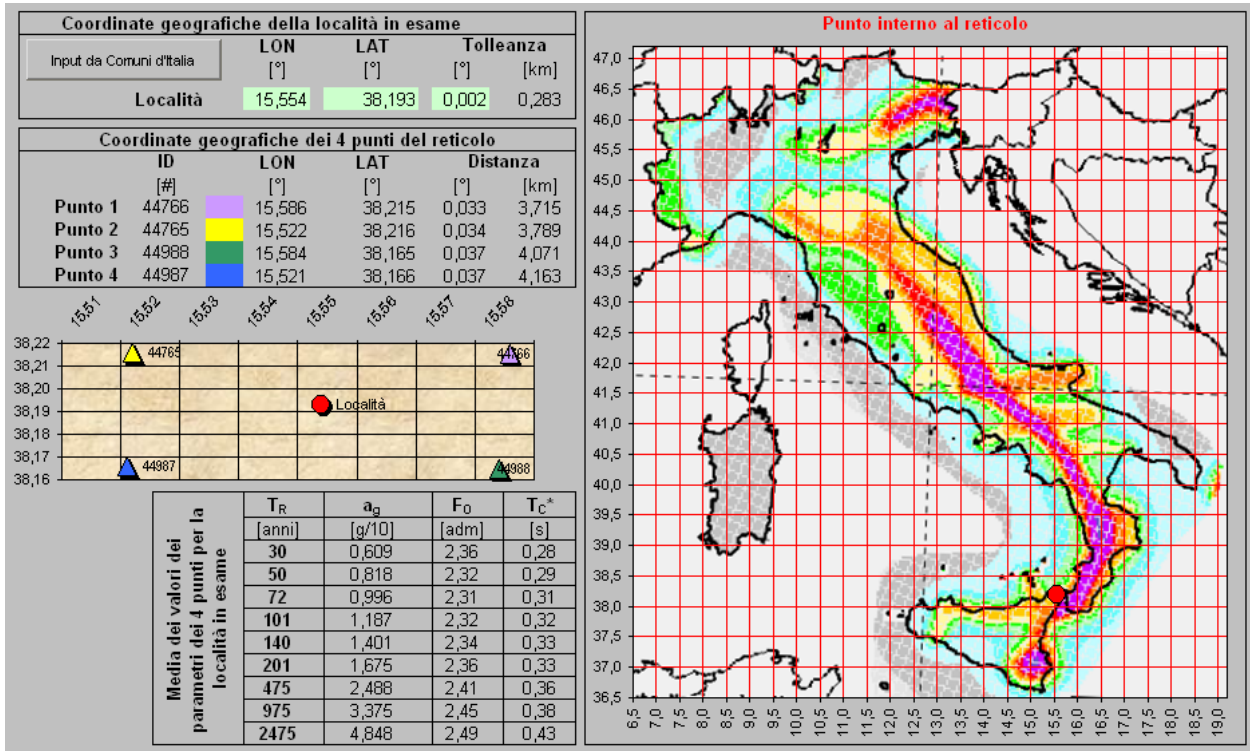
l'espressione:

$$T_R = -\frac{V_R}{\ln(1 - P_{VR})} = -\frac{200}{\ln(1 - 0.1)} = 1.898 \text{ anni}$$

I valori dei parametri  $a_g$ ,  $F_0$  e  $T_C^*$  relativi alla pericolosità sismica su reticolo di riferimento nell'intervallo di riferimento sono forniti nelle tabelle riportate nell'ALLEGATO B delle NTC.

I punti del reticolo di riferimento sono definiti in termini di Latitudine e Longitudine ed ordinati a Latitudine e Longitudine crescenti, facendo variare prima la Longitudine e poi la Latitudine. L'accelerazione al sito  $a_g$  è espressa in g/10;  $F_0$  è adimensionale,  $T_C^*$  è espresso in secondi.

Nel seguito si riporta una tabella riassuntiva dei parametri che caratterizzano il Comune di Messina:



## 4.4 CRITERI GENERALI DI PROGETTAZIONE

### 4.4.1 Verifiche di resistenza

Le verifiche delle sezioni più sollecitate sono state condotte seguendo le prescrizioni del D.M.14/01/08 e seguendo le indicazioni della norma UNI EN 1992-2005.

Più specificatamente la verifica di resistenza delle sezioni nei vari elementi strutturali, viene condotta tenendo conto della verifica agli stati limite ultimi, e delle verifiche nei riguardi della fessurazione e delle tensioni di esercizio.

#### 4.4.1.1 Verifiche di resistenza agli stati limite ultimi

Si è verificato che il valore di progetto degli effetti delle azioni, ovvero delle sollecitazioni flettenti  $M_d$  sia minore dei corrispondenti momenti resistenti  $M_r$  delle sezioni di progetto.

La verifica di resistenza delle sezioni nei vari elementi strutturali, viene condotta tenendo conto delle condizioni più gravose che si individuano dall'involuppo delle sollecitazioni agenti nelle diverse combinazioni di carico.



		<b>Ponte sullo Stretto di Messina</b> <b>PROGETTO DEFINITIVO</b>		
RELAZIONE TECNICO DESCRITTIVA DELL'OPERA		<i>Codice documento</i> SS0704_F0.doc	<i>Rev</i> F0	<i>Data</i> 20/06/2011

Le combinazioni e i coefficienti moltiplicativi delle singole azioni vengono definiti in base a quanto indicato nel D.M. 14 gennaio 2008.

Per quanto riguarda le verifiche a taglio ultimo, si è fatto riferimento al paragrafo 4.1.2.1.3 “Resistenza nei confronti di sollecitazioni taglianti” del D.M. 14 gennaio 2008.

#### **4.4.2 Verifiche agli stati limite di esercizio**

##### **4.4.2.1 Definizione degli stati limite di fessurazione**

In ordine di severità crescente si distinguono i seguenti stati limite:

- a) stato limite di decompressione nel quale, per la combinazione di azioni prescelta, la tensione normale è ovunque di compressione ed al più uguale a 0 ;
- b) stato limite di formazione delle fessure, nel quale, per la combinazione di azioni prescelta, la tensione normale di trazione nella fibra più sollecitata è:

$$\sigma_t = \frac{f_{ctm}}{1,2}$$

c) stato limite di apertura delle fessure nel quale, per la combinazione di azioni prescelta, il valore limite di apertura della fessura calcolato al livello considerato è pari ad uno dei seguenti valori nominali:

$$w_1 = 0,2 \text{ mm}$$

$$w_2 = 0,3 \text{ mm}$$

$$w_3 = 0,4 \text{ mm}$$

Lo stato limite di fessurazione deve essere fissato in funzione delle condizioni ambientali e della sensibilità delle armature alla corrosione.

##### **4.4.2.2 Condizioni ambientali**

Le condizioni ambientali, ai fini della protezione contro la corrosione delle armature metalliche, possono essere suddivise in ordinarie, aggressive e molto aggressive in relazione a quanto indicato nella tabella seguente:

		<b>Ponte sullo Stretto di Messina</b> <b>PROGETTO DEFINITIVO</b>		
RELAZIONE TECNICO DESCRITTIVA DELL'OPERA		<i>Codice documento</i> SS0704_F0.doc	<i>Rev</i> F0	<i>Data</i> 20/06/2011

CONDIZIONI AMBIENTALI	CLASSE DI ESPOSIZIONE
Ordinarie	X0, XC1, XC2, XC3, XF1
Aggressive	XC4, XD1, XS1, XA1, XA2, XF2, XF3
Molto aggressive	XD2, XD3, XS2, XS3, XA3, XF4

Nel caso in esame si considera l'opera sottoposta a condizioni aggressive.

#### 4.4.2.3 Sensibilità delle armature alla corrosione

Le armature si distinguono in due gruppi:

- armature sensibili;
- armature poco sensibili.

Appartengono al primo gruppo gli acciai da precompresso. Appartengono al secondo gruppo gli acciai ordinari. Per gli acciai zincati e per quelli inossidabili si può tener conto della loro minor sensibilità alla corrosione.

#### 4.4.2.4 Scelta degli stati limite di fessurazione

Nella tabella sottostante sono indicati i criteri di scelta dello stato limite di fessurazione con riferimento alle esigenze sopra riportate.

Gruppi di esigenze	Condizioni ambientali	Combinazione di azioni	Armatura			
			Sensibile		Poco sensibile	
			Stato limite	$w_d$	Stato limite	$w_d$
<b>a</b>	Ordinarie	frequente	ap. fessure	$\leq w_2$	ap. fessure	$\leq w_3$
		quasi permanente	ap. fessure	$\leq w_1$	ap. fessure	$\leq w_2$
<b>b</b>	Aggressive	frequente	ap. fessure	$\leq w_1$	ap. fessure	$\leq w_2$
		quasi permanente	decompressione	-	ap. fessure	$\leq w_1$
<b>c</b>	Molto aggressive	frequente	formazione fessure	-	ap. fessure	$\leq w_1$
		quasi permanente	decompressione	-	ap. fessure	$\leq w_1$

#### 4.4.2.5 Verifiche allo stato limite di fessurazione

##### Stato limite di decompressione e di formazione delle fessure

Le tensioni sono calcolate in base alle caratteristiche geometriche e meccaniche della sezione omogeneizzata non fessurata.

##### Stato limite di apertura delle fessure

Il valore caratteristico di calcolo di apertura delle fessure ( $w_d$ ) non deve superare i valori nominali

		<b>Ponte sullo Stretto di Messina</b> <b>PROGETTO DEFINITIVO</b>		
RELAZIONE TECNICO DESCRITTIVA DELL'OPERA		<i>Codice documento</i> SS0704_F0.doc	<i>Rev</i> F0	<i>Data</i> 20/06/2011

$w_1, w_2, w_3$  secondo quanto riportato nella Tabella sopra riportata.

Il valore caratteristico di calcolo è dato da:

$$w_d = 1,7 \cdot w_m$$

dove  $w_m$  rappresenta l'ampiezza media delle fessure.

L'ampiezza media delle fessure  $w_m$  è calcolata come prodotto della deformazione media delle barre d'armatura  $\varepsilon_{sm}$  per la distanza media tra le fessure  $\Delta_{sm}$  :

$$w_m = \varepsilon_{sm} \cdot \Delta_{sm}$$

Per il calcolo di  $\varepsilon_{sm}$  e  $\Delta_{sm}$  vanno utilizzati criteri consolidati riportati nella letteratura tecnica.  $\varepsilon_{sm}$  può essere calcolato tenendo conto dell'effetto del "tension stiffening" nel rispetto della limitazione:

$$\varepsilon_{sm} \geq 0,6 \cdot \frac{\sigma_s}{E_s}$$

con  $\sigma_s$  tensione nell'acciaio dell'armatura tesa (per sezione fessurata) nelle condizioni di carico considerate ed  $E_s$  è il modulo elastico dell'acciaio.

#### 4.4.2.6 Verifiche delle tensioni in esercizio

Valutate le azioni interne nelle varie parti della struttura, dovute alle combinazioni caratteristica e quasi permanente delle azioni, si calcolano le massime tensioni sia nel calcestruzzo sia nelle armature; si deve verificare che tali tensioni siano inferiori ai massimi valori consentiti di seguito riportati.

#### Tensione massima di compressione del calcestruzzo nelle condizioni di esercizio

La massima tensione di compressione del calcestruzzo  $\sigma_c$ , deve rispettare la limitazione seguente:

$$\sigma_c < 0,6 \cdot f_{ck} \text{ per la combinazione caratteristica (rara);}$$

$$\sigma_c < 0,45 \cdot f_{ck} \text{ per la combinazione caratteristica quasi permanente.}$$

Nel caso di elementi piani (solette, pareti, ...) gettati in opera con calcestruzzi ordinari e con spessori di calcestruzzo minori di 50 mm i valori limite sopra scritti vanno ridotti del 20%.

#### Tensione massima dell'acciaio in condizioni di esercizio

Per l'acciaio la tensione massima,  $\sigma_s$ , per effetto delle azioni dovute alla combinazione caratteristica deve rispettare la limitazione seguente:

		<b>Ponte sullo Stretto di Messina</b> <b>PROGETTO DEFINITIVO</b>		
RELAZIONE TECNICO DESCRITTIVA DELL'OPERA		<i>Codice documento</i> SS0704_F0.doc	<i>Rev</i> F0	<i>Data</i> 20/06/2011

$$\sigma_s < 0.8 \cdot f_{yk}$$

#### 4.4.3 Azioni sismiche

Le azioni sismiche di progetto, in base alle quali valutare il rispetto dei diversi stati limite considerati, si definiscono a partire dalla “pericolosità sismica di base” del sito di costruzione, che costituisce l’elemento di conoscenza primario per la determinazione delle azioni sismiche.

La pericolosità sismica è definita in termini di accelerazione orizzontale massima attesa  $a_g$  in condizioni di campo libero su sito di riferimento rigido con superficie topografica orizzontale di categoria A, nonché di ordinate dello spettro di risposta elastico in accelerazione ad essa corrispondente  $S_e(T)$ , con riferimento a prefissate probabilità di eccedenza  $P_{VR}$  nel periodo di riferimento  $V_R$ .

Nel presente progetto è stata verificata la combinazione di carico sismica con riferimento allo stato limite ultimo di salvaguardia della vita (SLV): a seguito del terremoto la struttura subisce rotture e crolli dei componenti non strutturali ed impiantistici e significativi danni dei componenti strutturali cui si associa una perdita significativa di rigidità nei confronti delle azioni orizzontali; mentre conserva invece una parte della esistenza e rigidità per azioni verticali e un margine di sicurezza nei confronti del collasso per azioni sismiche orizzontali.

##### 4.4.3.1 Vita nominale

La vita nominale di un’opera strutturale è intesa come il numero di anni nel quale la struttura, purché soggetta alla manutenzione ordinaria, deve poter essere usata per lo scopo al quale è destinata. Nel caso in oggetto, l’opera ricade all’interno del tipo di costruzione: “Grandi opere ordinarie, ponti, opere infrastrutturali e dighe di grandi dimensioni o di importanza strategica” (paragrafo 2.4 delle ‘Nuove Norme tecniche per le costruzioni – D.M. 14 gennaio 2008”).

La vita nominale si assume pertanto pari a  **$V_N = 100$  anni**.

##### 4.4.3.2 Classe d’uso

In presenza di azioni sismiche, con riferimento alle conseguenze di una interruzione di operatività o di un’eventuale collasso, le costruzioni sono suddivise in classi d’uso. Nel caso in oggetto si fa

		<b>Ponte sullo Stretto di Messina</b> <b>PROGETTO DEFINITIVO</b>		
RELAZIONE TECNICO DESCRITTIVA DELL'OPERA		<i>Codice documento</i> SS0704_F0.doc	<i>Rev</i> F0	<i>Data</i> 20/06/2011

riferimento alla Classe IV: costruzioni con funzioni pubbliche o strategiche importante, anche con riferimento alla gestione della protezione civile in caso di calamità.... Ponti e reti ferroviarie di importanza critica per il mantenimento delle vie di comunicazione, particolarmente dopo un evento sismico.”

Il coefficiente d'uso si assume pertanto pari a  $c_u = 2,0$  anni.

#### 4.4.3.3 Periodo di riferimento per l'azione sismica

Le azioni sismiche su ciascuna costruzione vengono valutate in relazione ad un periodo di riferimento  $V_R$  che si ricava, per ciascun tipo di costruzione, moltiplicandone la vita nominale  $V_N$  per il coefficiente d'uso  $C_U$ . Tale coefficiente è funzione della classe d'uso.

$$V_R = V_N \times C_U = 100 \text{ anni} \times 2 = 200 \text{ anni}$$

Le probabilità di superamento  $P_{VR}$  nel periodo di riferimento  $V_R$ , cui riferirsi per individuare l'azione sismica agente, sono pari al 10% nel caso dello stato limite SLV.

#### 4.4.3.4 Parametri di progetto

Le azioni di progetto si ricavano, ai sensi delle NTC, dalle accelerazioni  $a_g$  e dalle relative forme spettrali.

Le forme spettrali previste dalle NTC sono definite, su sito di riferimento rigido orizzontale, in funzione dei tre parametri:

- $a_g$  accelerazione orizzontale massima del terreno;
- $F_0$  valore massimo del fattore di amplificazione dello spettro in accelerazione orizzontale;
- $TC^*$  periodo di inizio del tratto a velocità costante dello spettro in accelerazione orizzontale.

Per ciascun nodo del reticolo di riferimento e per ciascuno dei periodi di ritorno  $TR$  considerati dalla pericolosità sismica, i tre parametri si ricavano riferendosi ai valori corrispondenti al 50esimo percentile ed attribuendo ad:

$a_g$  il valore previsto dalla pericolosità sismica;

		<b>Ponte sullo Stretto di Messina</b> <b>PROGETTO DEFINITIVO</b>		
RELAZIONE TECNICO DESCRITTIVA DELL'OPERA		<i>Codice documento</i> SS0704_F0.doc	<i>Rev</i> F0	<i>Data</i> 20/06/2011

$F_0$  e  $T_C^*$  i valori ottenuti imponendo che le forme spettrali in accelerazione, velocità e spostamento previste dalle NTC scartino al minimo dalle corrispondenti forme spettrali previste dalla pericolosità sismica.

Le forme spettrali previste dalle NTC sono caratterizzate da prescelte probabilità di superamento e vite di riferimento. A tal fine occorre fissare:

- la vita di riferimento  $V_R$  della costruzione;
- le probabilità di superamento nella vita di riferimento  $P_{VR}$  associate agli stati limite considerati, per individuare infine, a partire dai dati di pericolosità sismica disponibili, le corrispondenti azioni sismiche.

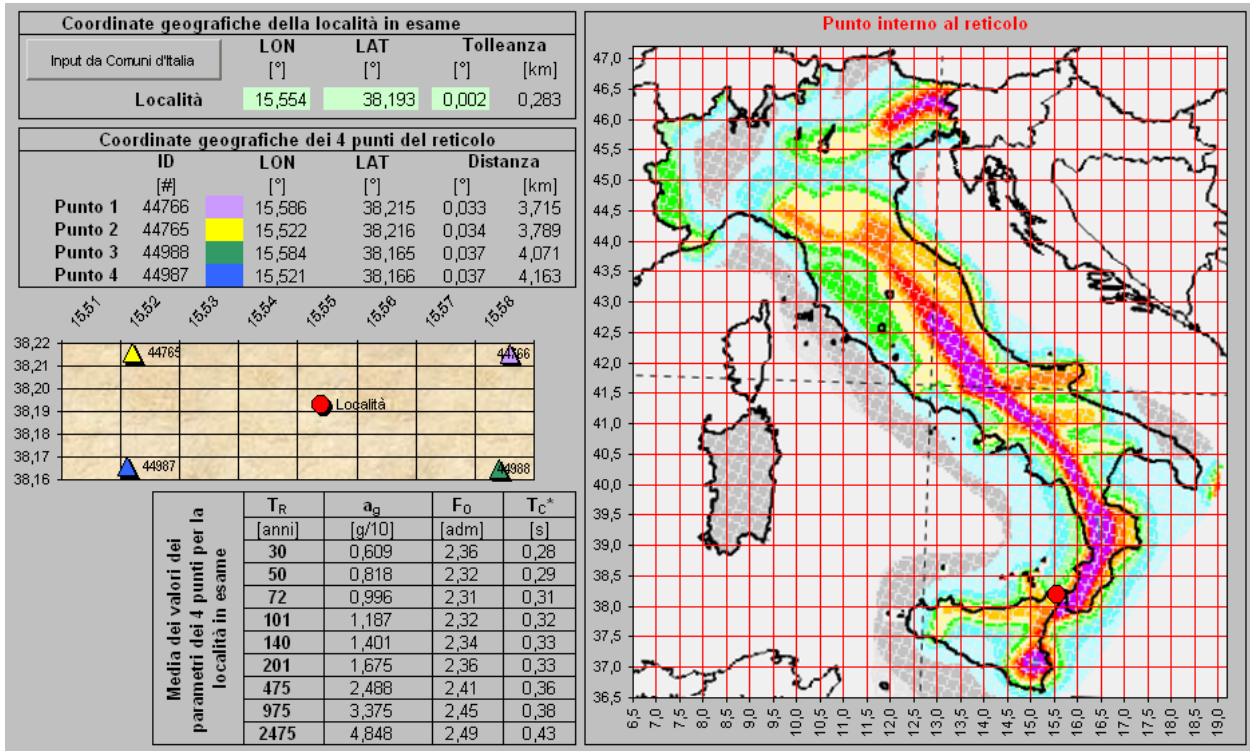
A tal fine è conveniente utilizzare, come parametro caratterizzante la pericolosità sismica, il periodo di ritorno dell'azione sismica  $T_R$ , espresso in anni. Fissata la vita di riferimento  $V_R$ , i due parametri  $T_R$  e  $P_{VR}$  sono immediatamente esprimibili, l'uno in funzione dell'altro, mediante l'espressione:

$$T_R = -\frac{V_R}{\ln(1 - P_{VR})} = -\frac{200}{\ln(1 - 0.1)} = 1.898 \text{ anni}$$

I valori dei parametri  $a_g$ ,  $F_0$  e  $T_C^*$  relativi alla pericolosità sismica su reticolo di riferimento nell'intervallo di riferimento sono forniti nelle tabelle riportate nell'ALLEGATO B delle NTC.

I punti del reticolo di riferimento sono definiti in termini di Latitudine e Longitudine ed ordinati a Latitudine e Longitudine crescenti, facendo variare prima la Longitudine e poi la Latitudine. L'accelerazione al sito  $a_g$  è espressa in  $g/10$ ;  $F_0$  è adimensionale,  $T_C^*$  è espresso in secondi.

Nel seguito si riporta una tabella riassuntiva dei parametri che caratterizzano il Comune di Messina:



#### 4.4.3.5 Classificazione sismica del terreno

Ai fini della definizione dell'azione sismica di progetto, in accordo con le NTC, si fa riferimento all'approccio semplificato che si basa sulla individuazione di categorie di sottosuolo di riferimento. Dallo studio geotecnico del sito presente nell'elaborato CG0800PRGDSSBC8G00000001B, si evince che non ci sono localmente indagini per caratterizzare la categoria sismica di suolo; considerando la sismica a rifrazione SRD3, essa risulta pari a **C**, che include depositi di terreni a grana grossa mediamente addensati o terreni a grana fina molto consistente.

#### 4.4.3.6 Spettro di risposta elastico in accelerazione

Lo spettro di risposta elastico in accelerazione è espresso da una forma spettrale (spettro normalizzato) riferita ad uno smorzamento convenzionale del 5%, moltiplicata per il valore della accelerazione orizzontale massima  $a_g$  su sito di riferimento rigido orizzontale. Sia la forma spettrale che il valore di  $a_g$  variano al variare della probabilità di superamento nel periodo di riferimento  $P_{VR}$ .

		<b>Ponte sullo Stretto di Messina</b> <b>PROGETTO DEFINITIVO</b>					
RELAZIONE TECNICO DESCRITTIVA DELL'OPERA		<i>Codice documento</i> SS0704_F0.doc	<table border="1" style="width: 100%; border-collapse: collapse;"> <tr> <td style="width: 50%;"><i>Rev</i></td> <td style="width: 50%;"><i>Data</i></td> </tr> <tr> <td>F0</td> <td>20/06/2011</td> </tr> </table>	<i>Rev</i>	<i>Data</i>	F0	20/06/2011
<i>Rev</i>	<i>Data</i>						
F0	20/06/2011						

#### 4.4.3.7 Spettro di risposta elastico in accelerazione delle componenti orizzontali

Lo spettro di risposta elastico della componente orizzontale è definito dalle espressioni seguenti:

$$0 \leq T \leq T_B \quad S_e(T) = a_g \cdot S \cdot \eta \cdot F_0 \left[ \frac{T}{T_B} + \frac{1}{\eta \cdot F_0} \cdot \left( 1 - \frac{T}{T_B} \right) \right]$$

$$T_B \leq T \leq T_C \quad S_e(T) = a_g \cdot S \cdot \eta \cdot F_0$$

$$T_C \leq T \leq T_D \quad S_e(T) = a_g \cdot S \cdot \eta \cdot F_0 \cdot \frac{T_C}{T}$$

$$T_D \leq T \quad S_e(T) = a_g \cdot S \cdot \eta \cdot F_0 \cdot \left( \frac{T_C \cdot T_D}{T^2} \right)$$

nelle quali T ed  $S_e$  sono, rispettivamente, periodo di vibrazione ed accelerazione spettrale orizzontale.

Inoltre:

- S: è il coefficiente che tiene conto della categoria di sottosuolo e delle condizioni topografiche mediante la relazione seguente:  $S = S_s \cdot S_T$
- essendo  $S_s$  il coefficiente di amplificazione stratigrafica e  $S_T$  il coefficiente di amplificazione topografica riportati nelle tabelle seguenti;

CATEGORIA SOTTOSUOLO	$S_s$	$C_c$
A	1,00	1,00
B	$1,00 \leq 1,40 - 0,40 \cdot F_0 \cdot \frac{a_g}{g} \leq 1,20$	$1,10 \cdot (T^* \cdot C)^{-0,20}$
C	$1,00 \leq 1,70 - 0,60 \cdot F_0 \cdot \frac{a_g}{g} \leq 1,50$	$1,05 \cdot (T^* \cdot C)^{-0,33}$
D	$0,90 \leq 2,40 - 1,50 \cdot F_0 \cdot \frac{a_g}{g} \leq 1,80$	$1,25 \cdot (T^* \cdot C)^{-0,50}$
E	$1,00 \leq 2,00 - 1,10 \cdot F_0 \cdot \frac{a_g}{g} \leq 1,60$	$1,15 \cdot (T^* \cdot C)^{-0,40}$



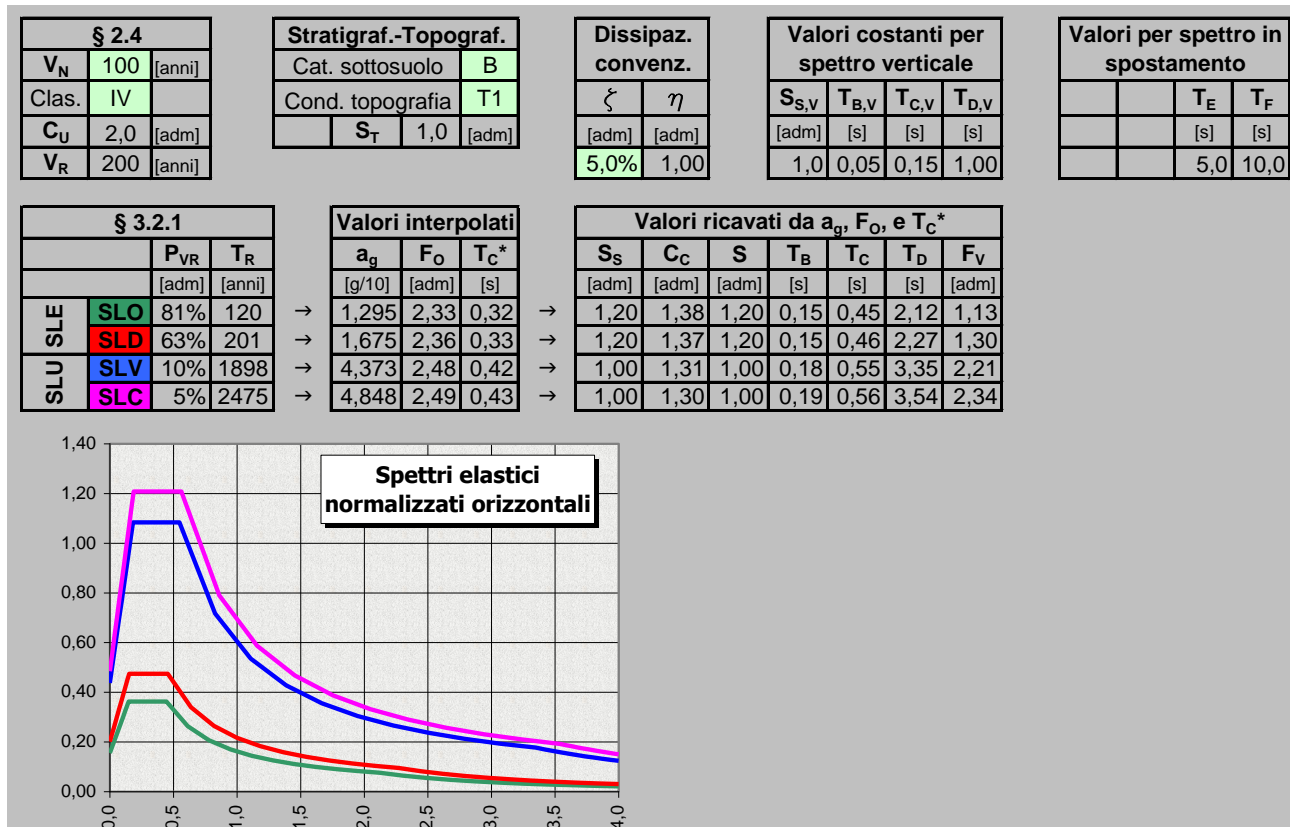
		<b>Ponte sullo Stretto di Messina</b> <b>PROGETTO DEFINITIVO</b>	
RELAZIONE TECNICO DESCRITTIVA DELL'OPERA	<i>Codice documento</i> SS0704_F0.doc	<i>Rev</i> F0	<i>Data</i> 20/06/2011

CATEGORIA TOPOGRAFICA	Ubicazione dell'opera o dell'intervento	S <sub>T</sub>
T1	-	1,00
T2	In corrispondenza della sommità del pendio	1,2
T3	In corrispondenza della cresta del rilievo	1,2
T4	In corrispondenza della cresta del rilievo	1,2

- $\eta$ : è il fattore che altera lo spettro elastico per coefficienti di smorzamento viscosi convenzionali  $\times$  diversi dal 5%, mediante la relazione:  $\eta = \sqrt{\frac{10}{5 + \xi}} \geq 0,55$
- dove  $\xi$  (espresso in percentuale) è valutato sulla base di materiali, tipologia strutturale e terreno di fondazione;
- $F_0$ : è il fattore che quantifica l'amplificazione spettrale massima, su sito di riferimento rigido orizzontale, ed ha valore minimo pari a 2,2;
- $T_C$ : è il periodo corrispondente all'inizio del tratto a velocità costante dello spettro, dato da:  $T_C = C_C \cdot T^*_C$ ; dove  $C_C$  è un coefficiente funzione della categoria di sottosuolo;
- $T_B$ : è il periodo corrispondente all'inizio del tratto dello spettro ad accelerazione costante;  $T_B = T_C / 3$
- $T_D$ : è il periodo corrispondente all'inizio del tratto a spostamento costante dello spettro, espresso in secondi mediante la relazione:  $T_D = 4,0 \cdot \frac{a_g}{g} + 1,6$

Nel seguito si riportano gli spettri elastici orizzontali relativi al sito ed al terreno.

		<b>Ponte sullo Stretto di Messina</b> <b>PROGETTO DEFINITIVO</b>	
		RELAZIONE TECNICO DESCRITTIVA DELL'OPERA	Codice documento SS0704_F0.doc



#### 4.4.3.8 Spettro di risposta elastico in accelerazione delle componenti verticali

Lo spettro di risposta elastico in accelerazione della componente verticale è definito dalle espressioni seguenti:

$$0 \leq T \leq T_B \quad S_{ve}(T) = a_g \cdot S \cdot \eta \cdot F_V \left[ \frac{T}{T_B} + \frac{1}{\eta \cdot F_O} \cdot \left( 1 - \frac{T}{T_B} \right) \right]$$

$$T_B \leq T \leq T_C \quad S_e(T) = a_g \cdot S \cdot \eta \cdot F_V$$

$$T_C \leq T \leq T_D \quad S_e(T) = a_g \cdot S \cdot \eta \cdot F_V \cdot \frac{T_C}{T}$$

$$T_D \leq T \quad S_e(T) = a_g \cdot S \cdot \eta \cdot F_V \cdot \left( \frac{T_C \cdot T_D}{T^2} \right)$$

nelle quali T e S<sub>ve</sub> sono, rispettivamente, periodo di vibrazione ed accelerazione spettrale verticale e F<sub>V</sub> è il fattore che quantifica l'amplificazione spettrale massima, in termini di accelerazione

		<b>Ponte sullo Stretto di Messina</b> <b>PROGETTO DEFINITIVO</b>		
RELAZIONE TECNICO DESCRITTIVA DELL'OPERA		<i>Codice documento</i> SS0704_F0.doc	<i>Rev</i> F0	<i>Data</i> 20/06/2011

orizzontale massima del terreno ag su sito di riferimento rigido orizzontale, mediante la relazione:

$$F_V = 1,35 \cdot F_O \cdot \left( \frac{a_g}{g} \right)^{0,5}$$

I valori di  $a_g$ ,  $F_O$ ,  $S_T$ ,  $S$ ,  $\eta$  sono quelli già definiti per le componenti orizzontali; i valori di  $S_S$ ,  $T_B$ ,  $T_C$  e  $T_D$ , sono invece quelli riportati nella tabella seguente.

CATEGORIA SOTTOSUOLO	$S_S$	$T_B$	$T_C$	$T_D$
A, B, C, D, E	1,00	0,05 s	0,15 s	1,0 s

#### 4.4.3.9 Spettro di progetto

Per gli stati limite di esercizio lo spettro di progetto  $S_d(T)$  da utilizzare, sia per le componenti orizzontali che per la componente verticale, è lo spettro elastico corrispondente, riferito alla probabilità di superamento nel periodo di riferimento PVR considerata.

Per le verifiche agli stati limite ultimi lo spettro di progetto  $S_d(T)$  da utilizzare, sia per le componenti orizzontali, sia per la componente verticale, è lo spettro elastico corrispondente riferito alla probabilità di superamento nel periodo di riferimento  $P_{VR}$  considerata con le ordinate ridotte sostituendo  $\eta$  con  $1/q$ , dove  $q$  è il fattore di struttura, nelle formule precedentemente riportate e comunque:  $S_d(T) \geq 0,2 \cdot a_g$ .

Il valore del fattore di struttura  $q$  da utilizzare per ciascuna direzione della azione sismica, dipende dalla tipologia strutturale, dal suo grado di iperstaticità e dai criteri di progettazione adottati e prende in conto le non linearità di materiale.

In accordo con quanto riportato nelle NTC al paragrafo 7.10.2 per strutture dotate di isolatori si assume un valore del fattore di struttura  $q$  per le analisi sismiche dell'impalcato in acciaio-cemento unitario

Impalcato:  $q = q_0 = 1,00$

Per quanto riguarda invece le sottostrutture, in particolare le pile, tale fattore, ancora in accordo con il paragrafo 7.9.2.1 delle NTC alla tabella 7.9.1 per classe CD"B" e con il paragrafo 7.10.6.2.1 per strutture isolate:

		<b>Ponte sullo Stretto di Messina</b> <b>PROGETTO DEFINITIVO</b>					
RELAZIONE TECNICO DESCRITTIVA DELL'OPERA		<i>Codice documento</i> SS0704_F0.doc	<table border="1" style="width: 100%;"> <tr> <td style="width: 50%;"><i>Rev</i></td> <td style="width: 50%;"><i>Data</i></td> </tr> <tr> <td>F0</td> <td>20/06/2011</td> </tr> </table>	<i>Rev</i>	<i>Data</i>	F0	20/06/2011
<i>Rev</i>	<i>Data</i>						
F0	20/06/2011						

Pile:  $q = q_0 = 1,50$

Discorso differente viene effettuato per le spalle: si procede considerando l'elemento come un'opera di sostegno; le Norme Tecniche trattano l'argomento al paragrafo 7.9.6.2.1, in cui si esplicita che l'analisi della sicurezza dei muri di sostegno in condizioni sismiche può essere eseguita mediante metodi pseudostatici, ossia mediante i metodi all'equilibrio limite. Il metodo di calcolo comprende, in accordo con la norma, l'opera di sostegno, il terreno a tergo dell'opera e gli eventuali sovraccarichi.

Nelle verifiche allo stato limite ultimo i valori dei coefficienti sismici orizzontale  $k_h$  e verticale  $k_v$  sono valutati mediante le espressioni:

$$k_h = \beta_m \cdot S \cdot \frac{a_{max}}{g}$$

$$k_v = \pm 0,50 \cdot k_h$$

dove:

$$\frac{a_{max}}{g} = 0,4373 \quad \text{accelerazione orizzontale massima attesa al sito}$$

$$\beta_m = 0,31 \quad \text{in accordo con la tabella 7.11.II}$$

$$S = S_S \cdot S_T = 1,00 \cdot 1,00 = 1,00 \quad \text{amplificazione per sottosuolo tipo B}$$

Si ottengono quindi i seguenti valori:

$$k_h = 0,136 \quad k_v = 0,068$$

La forza orizzontale sismica inerziale dovuta alla spalla è assunta prudenzialmente considerando la massa della spalla comprensiva del plinto di fondazione e del terreno giacente su di esso.

		<b>Ponte sullo Stretto di Messina</b> <b>PROGETTO DEFINITIVO</b>		
RELAZIONE TECNICO DESCRITTIVA DELL'OPERA		<i>Codice documento</i> SS0704_F0.doc	<i>Rev</i> F0	<i>Data</i> 20/06/2011

#### 4.4.4 COMBINAZIONI DI CARICO

Ai fini della determinazione dei valori caratteristici delle azioni dovute al traffico, si dovranno considerare, generalmente, le combinazioni riportate in Tab. 5.1.IV. A causa della natura dell'opera, i gruppi di azioni da prendere in esame risultano esclusivamente i gruppi 1, 2a e 2b.

Tabella 5.1.IV – Valori caratteristici delle azioni dovute al traffico

<i>Carichi sulla carreggiata</i>						<i>Carichi su marciapiedi e piste ciclabili</i>
<b>Carichi verticali</b>				<b>Carichi orizzontali</b>		<b>Carichi verticali</b>
Gruppo di azioni	Modello principale (Schemi di carico 1, 2, 3, 4, 6)	Veicoli speciali	Folla (Schema di carico 5)	Frenatura $q_3$	Forza centrifuga $q_4$	Carico uniformemente distribuito
1	Valore caratteristico					Schema di carico 5 con valore di combinazione $2,5 \text{ kN/m}^2$
2 a	Valore frequente			Valore caratteristico		
2 b	Valore frequente				Valore caratteristico	
3 <sup>(*)</sup>						Schema di carico 5 con valore caratteristico $5,0 \text{ kN/m}^2$
4 <sup>(**)</sup>			Schema di carico 5 con valore caratteristico $5,0 \text{ kN/m}^2$			Schema di carico 5 con valore caratteristico $5,0 \text{ kN/m}^2$
5 <sup>(***)</sup>	Da definirsi per il singolo progetto	Valore caratteristico o nominale				

<sup>(\*)</sup> Ponti di 3<sup>a</sup> categoria  
<sup>(\*\*)</sup> Da considerare solo se richiesto dal particolare progetto (ad es. ponti in zona urbana)  
<sup>(\*\*\*)</sup> Da considerare solo se si considerano veicoli speciali

La Tab. 5.1.V fornisce i valori dei coefficienti parziali delle azioni da assumere nell'analisi per la determinazione degli effetti delle azioni nelle verifiche agli stati limite ultimi, il significato dei simboli è il seguente:

$\gamma_{G1}$  coefficiente parziale del peso proprio della struttura, del terreno e dell'acqua, quando pertinente;

		<b>Ponte sullo Stretto di Messina</b> <b>PROGETTO DEFINITIVO</b>		
<b>RELAZIONE TECNICO DESCRITTIVA DELL'OPERA</b>		<i>Codice documento</i> SS0704_F0.doc	<i>Rev</i> F0	<i>Data</i> 20/06/2011

$\gamma_{G2}$  coefficiente parziale dei pesi propri degli elementi non strutturali;

$\gamma_Q$  coefficiente parziale delle azioni variabili da traffico;

$\gamma_{Qi}$  coefficiente parziale delle azioni variabili.

Il coefficiente parziale della precompressione si assume pari a  $\gamma_P=1$ .

I valori dei coefficienti  $\psi_{0j}$ ,  $\psi_{1j}$  e  $\psi_{2j}$  per le diverse categorie di azioni sono riportati nella Tab. 5.1.VI.

**Tabella 5.1.V – Coefficienti parziali di sicurezza per le combinazioni di carico agli SLU**

		Coefficiente	EQU <sup>(1)</sup>	A1 STR	A2 GEO
Carichi permanenti	favorevoli	$\gamma_{G1}$	0,90	1,00	1,00
	sfavorevoli		1,10	1,35	1,00
Carichi permanenti non strutturali <sup>(2)</sup>	favorevoli	$\gamma_{G2}$	0,00	0,00	0,00
	sfavorevoli		1,50	1,50	1,30
Carichi variabili da traffico	favorevoli	$\gamma_Q$	0,00	0,00	0,00
	sfavorevoli		1,35	1,35	1,15
Carichi variabili	favorevoli	$\gamma_{Qi}$	0,00	0,00	0,00
	sfavorevoli		1,50	1,50	1,30
Distorsioni e presollecitazioni di progetto	favorevoli	$\gamma_{\epsilon 1}$	0,90	1,00	1,00
	sfavorevoli		1,00 <sup>(3)</sup>	1,00 <sup>(4)</sup>	1,00
Ritiro e viscosità, Variazioni termiche, Cedimenti vincolari	favorevoli	$\gamma_{\epsilon 2}, \gamma_{\epsilon 3}, \gamma_{\epsilon 4}$	0,00	0,00	0,00
	sfavorevoli		1,20	1,20	1,00

<sup>(1)</sup> Equilibrio che non coinvolga i parametri di deformabilità e resistenza del terreno; altrimenti si applicano i valori di GEO.  
<sup>(2)</sup> Nel caso in cui i carichi permanenti non strutturali (ad es. carichi permanenti portati) siano compiutamente definiti si potranno adottare gli stessi coefficienti validi per le azioni permanenti.  
<sup>(3)</sup> 1,30 per instabilità in strutture con precompressione esterna  
<sup>(4)</sup> 1,20 per effetti locali

		<b>Ponte sullo Stretto di Messina</b> <b>PROGETTO DEFINITIVO</b>		
		RELAZIONE TECNICO DESCRITTIVA DELL'OPERA	Codice documento SS0704_F0.doc	Rev F0

Tabella 5.1.VI - Coefficienti  $\psi$  per le azioni variabili per ponti stradali e pedonali

Azioni	Gruppo di azioni (Tabella 5.1.IV)	Coefficiente $\Psi_0$ di combinazione	Coefficiente $\Psi_1$ (valori frequenti)	Coefficiente $\Psi_2$ (valori quasi permanenti)
Azioni da traffico (Tabella 5.1.IV)	Schema 1 (Carichi tandem)	0,75	0,75	0,0
	Schemi 1, 5 e 6 (Carichi distribuiti)	0,40	0,40	0,0
	Schemi 3 e 4 (carichi concentrati)	0,40	0,40	0,0
	Schema 2	0,0	0,75	0,0
	2	0,0	0,0	0,0
	3	0,0	0,0	0,0
	4 (folla)	----	0,75	0,0
Vento $q_5$	Vento a ponte scarico			
	SLU e SLE	0,6	0,2	0,0
	Esecuzione	0,8	----	0,0
	Vento a ponte carico	0,6		
Neve $q_5$	SLU e SLE	0,0	0,0	0,0
	esecuzione	0,8	0,6	0,5
Temperatura	$T_k$	0,6	0,6	0,5

Sono state analizzate le combinazioni di carico agli stati limite ultimi distinguendo lo stato limite di resistenza della struttura (STR), facente riferimento ai coefficienti parziali A1 e lo stato limite di resistenza del terreno (GEO), facente riferimento ai coefficienti parziali A2.

Agli stati limite di esercizio si sono considerate le verifiche per le combinazioni rara e frequente.

**SLU:**  $\gamma_{G1} \cdot G_1 + \gamma_{G2} \cdot G_2 + \gamma_P \cdot P + \gamma_{Q1} \cdot Q_{k1} + \gamma_{Q2} \cdot \Psi_{02} \cdot Q_{k2} + \gamma_{Q3} \cdot \Psi_{03} \cdot Q_{k3} + \dots$

**SLE RARA:**  $G_1 + G_2 + P + Q_{k1} + \Psi_{02} \cdot Q_{k2} + \Psi_{03} \cdot Q_{k3} + \dots$

**SLE FREQUENTE:**  $G_1 + G_2 + P + \Psi_{11} \cdot Q_{k1} + \Psi_{22} \cdot Q_{k2} + \Psi_{23} \cdot Q_{k3} + \dots$

**SLE QUASI PERMANENTE:**  $G_1 + G_2 + P + \Psi_{21} \cdot Q_{k1} + \Psi_{22} \cdot Q_{k2} + \Psi_{23} \cdot Q_{k3} + \dots$

**SISMICA:**  $E + G_1 + G_2 + P + \Psi_{21} \cdot Q_{k1} + \Psi_{22} \cdot Q_{k2} + \dots$

Combinazione utilizzata nell'analisi dell'impalcato:

COEFFICIENTI DI COMBINAZIONE PER LE VERIFICHE ALLO SLU STR			
	$\gamma$	$\psi$	$\gamma \cdot \psi$
Peso proprio acciaio	1,35	1,00	1,35
Peso proprio soletta	1,35	1,00	1,35
Permanenti	1,50	1,00	1,50
Effetti primari del ritiro	1,20	1,00	1,20
Effetti secondari del ritiro	1,20	1,00	1,20
Accidentali mezzi	1,35	1,00	1,35
Vento	1,5	0,60	0,90
Deformazioni termiche	1,20	0,60	0,72

Azione base accidentali

		<b>Ponte sullo Stretto di Messina</b> <b>PROGETTO DEFINITIVO</b>		
RELAZIONE TECNICO DESCRITTIVA DELL'OPERA		<i>Codice documento</i> SS0704_F0.doc	<i>Rev</i> F0	<i>Data</i> 20/06/2011

## 5 FASI COSTRUTTIVE

Le fasi costruttive per l'esecuzione dell'opera in oggetto sono le seguenti:

- Scavo di sbancamento;
- Realizzazione opere provvisoriale;
- Scavo di fondazione;
- Costruzione di pile e spalle;
- Messa in opera del sistema di appoggi;
- Varo dell'impalcato metallico;
- Posa in opera predalle e armatura;
- Getto della soletta di impalcato;
- Getto dei cordoli in c.a.;
- Realizzazione opere di finitura (pavimentazione, barriere di sicurezza, reti di protezione ecc.).



		<b>Ponte sullo Stretto di Messina</b> <b>PROGETTO DEFINITIVO</b>		
<b>RELAZIONE TECNICO DESCRITTIVA DELL'OPERA</b>	<i>Codice documento</i> SS0704_F0.doc	<i>Rev</i> F0	<i>Data</i> 20/06/2011	

## 6 ELABORATI DI RIFERIMENTO

Nell'eseguire le verifiche relative all'opera di cui alla presente relazione si fa riferimento ai seguenti elaborati:

CG0700	P	RG	D	S	SC	C5	VI	R0	00	00	01	B
CG0700	P	SH	D	S	SC	C5	VI	R0	00	00	01	B
CG0700	P	CL	D	S	SC	C5	VI	R0	00	00	01	B
CG0700	P	RB	D	S	SC	C5	VI	R0	00	00	01	B
CG0700	P	P7	D	S	SC	C5	VI	R0	00	00	01	B
CG0700	P	FZ	D	S	SC	C5	VI	R0	00	00	01	B
CG0700	P	P8	D	S	SC	C5	VI	R0	00	00	01	B
CG0700	P	Z9	D	S	SC	C5	VI	R0	00	00	01	B
CG0700	P	PA	D	S	SC	C5	VI	R0	00	00	01	B
CG0700	P	BA	D	S	SC	C5	VI	R0	00	00	01	B
CG0700	P	BA	D	S	SC	C5	VI	R0	00	00	05	B
CG0700	P	BA	D	S	SC	C5	VI	R0	00	00	02	B
CG0700	P	BA	D	S	SC	C5	VI	R0	00	00	03	B
CG0700	P	BZ	D	S	SC	C5	VI	R0	00	00	01	B
CG0700	P	BZ	D	S	SC	C5	VI	R0	00	00	02	B
CG0700	P	SA	D	S	SC	C5	VI	R0	00	00	01	B
CG0700	P	SA	D	S	SC	C5	VI	R0	00	00	02	B
CG0700	P	SA	D	S	SC	C5	VI	R0	00	00	03	B
CG0700	P	SA	D	S	SC	C5	VI	R0	00	00	04	B
CG0700	P	BA	D	S	SC	C5	VI	R0	00	00	04	B